

بررسی متغیرهای هندسی و جنبشی شکستگی‌های مخزن آسماری میدان مارون

خیرالله نورائی نژاد^۱، حسن امیری بختیار^۲، روح‌انگیز محمدیان^۳ و عبدالفیاض عزیزی^۴

^۱ کارشناسی ارشد، گروه زمین‌شناسی، دانشکده علوم، دانشگاه شهید چمران اهواز، اهواز، ایران.

^۲ دکتر، شرکت ملی نفت ایران مناطق نفت خیز جنوب، اهواز، ایران.

^۳ کارشناسی ارشد، شرکت ملی نفت ایران مناطق نفت خیز جنوب، اهواز، ایران.

^۴ دانشجوی کارشناسی ارشد، گروه زمین‌شناسی، دانشکده علوم، دانشگاه شهید چمران اهواز، اهواز، ایران.

تاریخ پذیرش: ۱۳۹۱/۰۳/۲۸ تاریخ دریافت: ۱۳۸۹/۱۲/۱۸

چکیده

تاقدیس مارون در بخش میانی پهنه ساختاری زاگرس چین خورده ساده در جنوب فروافتادگی دزفول شمالی و در امتداد تاقدیس‌های رامین و آغازاری قرار گرفته است. در این مطالعه با بهره‌گیری از داده‌های زیرسطحی، سازوکار چین خورده‌گی و شکستگی‌های این تاقدیس بررسی شده است. با استفاده از نتایج اولیه داده‌های ژئوفیزیکی، روش‌های تحلیل هندسی، تغیرات انتنا، مطالعات هرزروی گل حفاری، اطلاعات مهندسی مخزن، هندسه تاقدیس و شکستگی‌های مربوط با چین خورده‌گی مورد بررسی و تحلیل قرار گرفته‌اند. سازوکار چین خورده‌گی در این تاقدیس ترکیبی از چین خورده‌گی خمشی-لغزشی و چین خورده‌گی با سطح خنثی است. به عبارت دیگر تاقدیس زیرسطحی مارون یک چین مرتبط با گسل راندگی و از نوع جدایشی گسلی یا جدایشی انتقالی است. مقاطع لرزه‌ای، تاقدیس مارون را از نوع چین خورده‌گی هم مرکز نشان می‌دهد و از سطح به ژرفابا کاهش فضای موجود در اثر چین خورده‌گی همراه است و این گسل‌ها در سازند گچساران ناپدید می‌شوند. در نتایج حاصل، اطلاعات خوبی میان روش‌های تحلیلی هندسی، داده‌های هرزروی گل، شاخص بهره‌دهی در ناحیه خمش تاقدیس مارون (بخش مرکزی) و حضور شکستگی‌ها در این بخش وجود دارد. تحلیل داده‌های یادشده بیانگر این مطلب است که بیشترین تراکم شکستگی‌ها، مربوط به منطقه خمش در میدان نفتی مارون است. در پایان می‌توان چنین نتیجه‌گیری کرد که برای حفر چاه‌های توسعه‌ای و تولیدی آتی باید متغیرهای یادشده مدنظر قرار گیرد و به بخش شمال خاوری و یال جنوبی تاقدیس مارون توجه بیشتری شود.

کلیدواژه‌ها: میدان نفتی مارون، مخزن آسماری، چین خورده‌گی، گسل خورده‌گی، شکستگی.

*نویسنده مسئول: خیرالله نورائی نژاد

E-mail: Kh.nuraei@gmail.com

پیش‌گفتار

اولین مطالعه زمین‌شناسی مخزن مارون توسط Jisisler (1971) منتشر شد. وی در این مطالعه سازند آسماری را به ۴ لایه اصلی تقسیم کرد که هر یک دارای یک زیرلایه کربناتی در بالا و یک زیرلایه ماسه‌سنگی در پایین هستند. مطالعه میرزاقلی‌پور و حقی (۱۳۶۹) ضمن جمع‌بندی اطلاعات پیشین بخش‌بندی مخزن آسماری میدان مارون را در ۱۷۰ حلقه چاه به‌روز کرده است. MC Cord & Aociates (1975) در سال ۱۹۹۲ میلادی مطالعه جامع زمین‌شناسی مخزن آسماری توسط شرکت Intera Interaktion گرفت که در آن سه محدوده زمین‌ساختی را بر پایه نیروهای فشارشی مشخص کردند که شامل محدوده A در مرکز میدان با بیشترین فشارش و خمش، محدوده B در انتهای خاوری با خمش نسبتاً ملایم و محدوده C در انتهای باختり با کمترین فشارش است.

۲- موقعیت جغرافیایی و ویژگی‌های ساختمانی میدان نفتی مارون

میدان مارون در جنوب فروافتادگی دزفول شمالی و در امتداد تاقدیس‌های آغازاری و رامین قرار گرفته است. از دید موقعیت جغرافیایی، این میدان نسبت به میدان‌های مجاور از شمال توسط میدان رامین، از خاور توسط میدان کوپال، از باخته و شمال باخته توسط میدان شادگان و اهواز و از جنوب توسط میدان رامشیر محدود می‌شود (شکل ۱).

ساختمان میدان مارون تاقدیسی است با سوی شمال باخته - جنوب خاور، کم عرض و طویل، دارای پیچش بسیار مشخص در میانه ساختار که به میدان حالت نیمه جناغی به سوی شمال داده است (میرزاقلی‌پور و حقی، ۱۳۶۹). سازند آسماری اصلی ترین سنگ مخزن این میدان است که در پهنه‌های بالایی بیشتر از دولومیت

شکستگی‌ها را پرین ساختار زمین‌شناسی هستند که به دلیل فرایندهای پیچیده‌ای که در تشکیل آنها دخالت دارد ممکن است در هر رخمنون سنگی وجود داشته باشد. شکستگی‌ها نقش مهمی در تولید مخازن که به طور طبیعی شکسته شده‌اند، دارند. تحلیل و بررسی آنها از دیدگاه ساختاری بهویژه شکستگی‌های زیرسطحی مشکل است؛ به همین خاطر با وجود اهمیت زیاد، کمتر مورد توجه زمین‌شناسان قرار گرفته است. شکستگی‌ها یکی از مهم‌ترین مسیرهای جریان سیال در مخازن کربناتی هستند در افزایش تخلخل، نفوذپذیری و در نتیجه تولید بالای نفت در مخازن کربناتی جنوب باخته ایران اشاره کرد. در مخزن آسماری، تولید در بیشتر موارد متناسب با نفوذپذیری مرتبط با تخلخل زمینه سنگ نیست و به مراتب بیشتر از آن است (مطیعی، ۱۳۷۴). بنابراین نقش شکستگی‌ها در خروج طبیعی، بازیافت ثانویه و بالاخره بازیافت پایانی بسیار پر اهمیت است و مطالعه و بررسی شکستگی‌ها و شناخت موقعیت و چگونگی گسترش آنها در سرتاسر مخزن، می‌تواند به طرح گسترش میدان، تعیین محل‌های مناسب برای ساخت چاه‌های جدید، افزایش طول عمر و بهره‌دهی مخزن، کاهش هزینه‌های پی‌جوبی و در کلی ما از سامانه شکستگی در میدان نفتی، کمک قابل توجهی کند.

هدف از این مطالعه تعیین پراکندگی، شدت و روند شکستگی‌ها در میدان نفتی مارون، در راستای پیشنهاد نقاط بهینه حفاری و در امتداد آن کاهش هزینه‌های حفاری، تعیین مناطقی با دبی بالای تولید در میدان، همچنین مشخص کردن سازوکار چین خورده‌گی در تاقدیس زیر سطحی مارون است. در این مطالعه از اطلاعات مختلفی مانند داده‌های ساختمانی (داده‌های زیرسطحی)، داده‌های ژئوفیزیکی، داده‌های اطلاعات تولیدی چاه‌ها و داده‌های دینامیکی مخزن استفاده شد و در پایان با تلفیق اطلاعات یادشده و با روش‌های آماری و ریاضی، سازوکار ایجاد چین خورده‌گی، تراکم و الگوهای شکستگی‌های چیره تعیین شده است.

از حدود ۱۳ کیلومتر به ۷ کیلومتر رسیده و طبیعی است چنین حالتی تنها به وسیله ایجاد گسل خوردگی وارون رخ خواهد داد (شکل ۲ و ۹).

در میدان مارون به دلیل دو رخداد مهم زمین‌ساختی به صورت چین خوردگی (Folding) که آثار اصلی کوهزایی زاگرس است و خمین محوری که بعداً در اثر حرکت تحت تأثیر نیروهای تراکمی ایجاد شده و ادامه آن تا به امروز تغییر شیب را در یال‌های این مخزن سیار گوناگون کرده است و بنابراین میزان شعاع انحنای در طول ساختمان در مقاطع مختلف با هم متفاوت شده است. در نتیجه این خمین تغییر شیب در یال‌ها سیار گوناگون و شعاع انحنای در طول محور ساختمان در مقاطع مختلف تغییر می‌کند. به گونه‌ای که در نقشه هم شیب سازند آسماری تاقدیس مارون از شمال باخته به طرف مرکز میدان، ساختمان تاقدیس نامتقران با بیشترین شیب حدود ۷۰ درجه در یال جنوبی در بخش مرکزی (ناحیه خمین) و به سمت خاور در یال جنوبی کاهش یافته و به طور متوسط به حدود ۵۰ درجه هم رسید.

در یال شمالی نیز به طرف شمال خاور شیبی حدود ۴۰ درجه و در بقیه بخش‌ها شیب میانگین حدود ۲۰ درجه دارد. بنابراین بیشترین بستگی ساختمانی میدان مارون از مرکز تا انتهای خاوری مخزن دیده می‌شود. عملکرد نیروهای فشارشی سبب ایجاد گشکلی در بخش‌های مرکزی میدان (با بیشترین خمین و فشارش) و انتهای خاوری (با خمین نسبتاً ملایم) شده و همچنین سبب راندگی ساختمان آغازگاری برروی انتهای خاوری میدان مارون شده است.

نقشه همانحنای مخزن آسماری مارون مناطقی با شیب بالا و در نتیجه شعاع انحنای بیشتر را در یال جنوبی ساختمان نشان می‌دهند که در چنین شرایطی بیشترین شکستگی در یال جنوبی مخزن شکل گرفته است. افزایش مقدار شیب در یال جنوبی به سوی نواحی مرکزی (ناحیه خمین) تاقدیس و کاهش شعاع انحنای چین سبب شده تا شکستگی‌ها در یال جنوبی به سوی بخش مرکزی تاقدیس (ناحیه خمین) دارای گسترش بیشتری باشند. به گونه‌ای که در نقشه همانحنای مخزن آسماری میدان مارون بیشترین انحنای در یال جنوبی بخش مرکزی و بخش شمال خاوری دیده می‌شود (شکل ۴).

- تحلیل دایره محاطی (Inscribed Circle Analysis): هدف از به کار گیری روش تحلیل دایره محاطی تعیین محدوده گسترش شکستگی‌های باز ناشی از خمین عرضی چین خوردگی یا شکستگی‌های کششی ساختار تاقدیسی است. در این روش سعی بر این است که دایره‌ای با بیشترین شعاع موجود در انحنای مربوط به ساختمان محاط شود. برای این کار از نقطه عطف یا به عبارتی نقطه‌ای که سوی شیب در آن دچار تغییر می‌شود استفاده می‌شود. در این راستا بخش‌ایی از ساختمان که در حالت مماس با دایره قرار می‌گیرد مرتبط با نقاطی با حداقل ایجاد بازشدگی هستند و هرچه این فاصله بیشتر می‌شود گسترش بازشدگی‌ها نیز مرتبط با آنها افزایش خواهد یافت. در این مطالعه برای رسم مقاطع ساختمانی از نقشه U.G.C. سازند آسماری با استفاده از نرم‌افزار RMS استفاده شد (شکل ۵). بیش از ۶۰ برش ساختمانی در جهت عمود بر محور ساختمان رسم شد و برای رسم دوایر محاطی مماسی از نرم‌افزار اتوکد و منحنی تراز ۳۹۰۰ متری زیرسطح دریا به عنوان ژرفای مبنا استفاده شده است (شکل ۶).

بر پایه ارزیابی‌های انجام شده دو محدوده مستعد شکستگی در نواحی یال جنوبی در بخش مرکزی به سمت انتهای باخته و محدوده دیگر در یال شمال خاوری و بخش خاوری تشخیص داده شده است که چگونگی پراکنش و گسترش شکستگی‌ها را در مخزن نشان می‌دهد. همچنین بررسی نتایج نشان می‌دهد که هر دو دسته شکستگی مرتبط با چین خوردگی و خمین در دو محدوده بالا هستند و محدوده‌های پراکندگی شکستگی‌ها در سازند آسماری بر پایه روش دوایر محاطی همخوانی بسیار خوبی با محدوده‌های بیشترین شیب ساختمانی در نقشه هم انحنای دارند (شکل ۵).

و آهک تشکیل شده است و برپایه تازه‌ترین پهنه‌بندی انجام شده، مخزن آسماری میدان مارون از دید سنگ‌شناسی به ۵ پهنه و ۵ زیرپهنه تقسیم‌بندی شده که پهنه ۱ در رأس و پهنه ۵ در قاعده مخزن قرار گرفته است.

پهنه یک: این پهنه در بخش بالای سازند آسماری و در بخش زیرین سازند گچساران (پوش‌سنگ) واقع شده است. از دید سنگ‌شناسی بخش عمدۀ آن دولومیت، آهک دولومیتی به همراه مقادیر جزبی، ایندیریت است و گاهی لایه‌های نازک از شیل، مارن و ماسه نیز دیده می‌شود. ستبرای میانگین آن ۶۰-۷۵ متر و همزمان با آخرین فاز پیش روی دریا در میوسن نهشته شده است.

پهنه دو: این پهنه بخش بالای سازند آسماری میانی را تشکیل می‌دهد و سنگ‌شناسی آن شامل دولومیت و آهک‌های دولومیتی به همراه مقادیر جزبی ایندیریت است که در بخش‌های زیرین (زیرلایه ۲۸ در پهنه‌بندی قلی پور، ۱۳۶۸) تبدیل به تناوبی از لایه‌های ماسه‌سنگ آهک و آهک‌ماسه‌ای و دولومیت می‌شود. میانگین ستبرای این پهنه ۱۰۰-۱۱۰ متر است.

پهنه سه: این پهنه بخش‌های پایینی آسماری میانی را شامل می‌شود و سنگ‌شناسی آن بیشتر از سنگ‌آهک، دولومیت که در بخش‌های تحتانی (زیرلایه ۳۰/۳۶ در زون‌بندی قلی پور) ماسه‌سنگی با میان‌گذاری آهک و دولومیت ماسه‌ای و گاهی لایه‌های نازک شیلی تشکیل شده است. ستبرای میانگین این پهنه ۸۰-۱۰۰ متر است.

پهنه چهار: این پهنه بخش بیشتری از آسماری زیرین را تشکیل می‌دهد و سنگ‌شناسی عده آن آهک، آهک دولومیتی، ماسه‌سنگ، شیل و مارن که در بخش‌های زیرین (پهنه ۴۰/۸۰ در قلی پور، ۱۳۶۸) لایه‌های آهک خالص و در برخی بخش‌ها لایه‌های نازک ماسه و شیل است و ستبرای میانگین آن ۱۵۰ متر است.

پهنه پنجم: این پهنه تشکیل دهنده بخش انتقالی میان سازندهای پابده و آسماری است و بیشتر از آهک‌های رسی فشرده و شیل‌های تیره‌رنگ گلوكوئنیتی و پیریت‌دار تشکیل شده است. ستبرای آن میان ۷۰-۸۵ متر است.

۳- تحلیل شکستگی

تحلیل شکستگی‌ها و شناسایی مکان‌هایی با تراکم بالای شکستگی در مخازن هیدروکربنی اهمیت ویژه‌ای دارد. برای بررسی توزیع فراوانی و تراکم شکستگی‌ها در مخزن آسماری از روش‌هایی بهره گرفته شده است که هر یک کارابی ویژه‌ای دارد و نتایج حاصل از آنها بسیار سودمند است. این روش‌ها عبارتند از:

۳-۱. روش‌های تحلیلی هندسی به منظور مطالعه و بررسی میزان تغییرات انحنای

- تعیین میزان و جهت خمین محور ساختاری: یک ساختار چین خورده ممکن است در جهات مختلفی تحت تأثیر تغییرات انحنای قرار بگیرد. از آن جمله می‌توان به تغییرات انحنای طولی اشاره کرد که در ارتباط با خمیدگی محور ساختار رخ می‌دهد (بیزدانی و همکاران، ۱۳۸۵). بدینه است موقعیت‌های ساختمانی که متأثر از این پدیده باشند با گسیختگی، توسعه و تراکم بیشتر شکستگی‌ها همراه هستند.

آنچه در هنگام مشق گیری از نقشه تراز ساختمانی (UGC) مهم است آن است که رأس ساختمان نباید تحت تأثیر عملکرد گسل‌شیل یا خمین شدید ناشی از آن باشد زیرا در این حالت تغییرات انحنای حاصل از اثر گسل اختلال بزرگی ایجاد می‌کند که می‌تواند در کل نقشه انتشار یابد. این اختلال به صورت سینوسیتیه‌های فراوان و کوچک مقیاسی است که در اثر انتلاق تکه‌تکه ای اطلاعات خام نقشه برای مشخص کردن تغییرات انحنای ساختارهای ناحیه‌ای بزرگ‌تر ایجاد شده‌اند.

خمین حاصل از تداوم نیروی تراکمی (نیروهای وارده از طرف بردار حرکتی صفحه عربی) سبب شده است که محور تاقدیس مارون در انتهای خاوری حدود ۲۲ درجه از حالت اولیه منحرف شود. در نتیجه فاصله محور تاقدیس مارون و آغازگاری

چگالی شکستگی متفاوت و در پایان ایجاد اثربخشی‌های متفاوت از پوش‌سنگ گچساران در این میدان شده است. به دلیل وجود و عملکرد سازند شکل پذیر گچساران در منطقه مورد مطالعه، هندسه ساختمان سطحی و زیرسطحی این تاقدیس متفاوت است.

مطالعه ناحیه‌ای انجام شده بر روی سازوکار چین خوردگی در کمربند ساده چین خوردگه زاگرس، نوع چین خوردگی در این ناحیه را موازی در نظر گرفته است (Colman sad, 1978). سازوکار چین خوردگی در این ناحیه ترکیبی از دو سازوکار چین خوردگی خمشی-لغزشی و چین خوردگی با سطح خشی است (Baker, 1987). بر پایه نظریات Dahlstorm (1990) در رژیم چین خوردگی هم مرکز یک مجموعه چین خوردگه الزاماً باید به وسیله سطح گستگی بالایی و زیرین دربرگرفته شود.

در ستون چینهای تاقدیس مارون می‌توان به وجود ردیفی از سازندهای مقاوم و نامقاوم اشاره کرد. به این ترتیب که سازندهای اندیزیت گوتینیا، آهک توده‌ای گروه خامی، سازند شیلی کزدمی، آهک توده‌ای گروه بنگستان، سازندهای بیشتر شیلی پابده و گوری، آهک آسماری و تبخیری‌های سازند گچساران در این توالی دیده می‌شوند که همگی از ویژگی‌های چین‌های هم مرکز در این منطقه هستند. این سطح گسیختگی با افزایش ژرفای جابه‌جایی بیشتری را نشان می‌دهند. یکی از پیامدهای اولیه این پدیده نبود تقارن و به خودگی سازوکار چین خوردگی هم مرکز است که در بخش هایی از تاقدیس مارون دیده می‌شود. نقش سطح گسیختگی میانی (پابده و گورپی) بر هندسه چین خوردگی تاقدیس مارون در نیمرخ‌های لرزه‌ای تفسیر شده به روشنی نمایان است (شکل ۱۰).

نیمرخ‌های لرزه‌ای تفسیر شده تاقدیس مارون را از نوع چین خوردگی هم مرکز نشان می‌دهند که از سطح به ژرفای کاهش فضای موجود در اثر چین خوردگی همراه بوده که این کاهش فضا با گسلش در یال جنوبی همراه بوده که شیب گسل به تدریج کم شده است تا اینکه در نهایت به سطح گستگی ساختمانی تاقدیس منتهی می‌شود. با اثبات چین خوردگی موازی و هم مرکز در میدان وجود دست کم یک صفحه گسل از نوع راندگی در یال جنوبی تاقدیس قطعی است. با توجه به ویژگی‌های این سبک از چین خوردگی می‌توان مؤخر بودن گسلش راندگی را نسبت به تکامل چین استنباط کرد.

بر پایه داده‌های ژئوفیزیکی با افزایش تنش‌های فشارشی بخش بالای سطح گستگی بر روی این سطح می‌لغزد و باعث بالا آمدن این بخش روی فرودیواره و در نتیجه کاهش درجه تقارن ساختار تاقدیسی می‌شود (Desitter, 1956) (شکل ۹). در نیمرخ‌های لرزه‌ای تفسیر شده از تاقدیس مارون محدوده‌ای به مریخته و مبهم در یال جنوب باختり دیده می‌شود و نشان می‌دهد که در اثر عملکرد گسلش راندگی در امتداد یال جنوبی، گسیختگی رخ داده است. در تیجه یال جنوبی پس از پر شیب شده و به حالت قائم تا برگشته است. یال شمالی این تاقدیس چندان پر شیب نیست و شیب قائم و برگشتگی ساختاری نیز هرگز در آن دیده نمی‌شود. بنابراین وجود گسل راندگی در یال جنوب باختری تاقدیس به اثبات می‌رسد (شکل ۱۰).

کوتاه‌شدگی ساختمانی در ارتباط با چین خوردگی در طول سه برش محاسبه شده است به گونه‌ای که در بخش‌های شمال باختری میزان کوتاه‌شدگی $7/5$ درصد و در بخش مرکزی $19/5$ درصد و در جنوب خاوری 11 درصد است. بیشترین جابه‌جایی

در بخش‌های مرکزی چین دیده می‌شود که به سمت شمال باختر و جنوب خاور از بین می‌رود. در بخش‌هایی از انواع خاوری ساختمان کوتاه‌شدگی و جابه‌جایی در محل راندگی میان میدان آغارجاری و مارون دیده می‌شود. به گونه‌ای که سازند گچساران با داشتن لایه‌های فراوان انعطاف‌پذیر، این کوتاه‌شدگی و کاهش حجم را با تحمل چندین گسل راندگی در خود امکان‌پذیر کرده است (گسل راندگی میان میدان آغارجاری و مارون در نقشه‌های لرزه‌ای میدان مارون شکل ۳ دیده شده است). متغیرهای یادشده همگی از ویژگی‌های چین‌های هم مرکز در منطقه زاگرس است.

هر دو روش مشتق دوم و رسم دوایر محاطی، گسترش شکستگی‌های را نشان می‌دهند که در ارتباط مستقیم با فرایند چن خوردگی و خمین وجود آمدند.

۳-۲. استفاده از داده‌های هرزروی گل (Mud Losses)

بیشترین میزان مجاز هرزروی سیالات حفاری یک بشکه در ساعت است. هرزروی بیش از این مقدار به این صورت تفسیر می‌شود؛ هرزروی تراویشی (1-10 bbl/h) مرتبط با تخلخل، نفوذپذیری و شکستگی‌های کوچک، هرزروی جزی (50-100 bbl/h) ناشی از وجود شکستگی‌ها، ماسه و گراول‌های نامترکم و هرزروی شدید (50-100 bbl/h) حاصل شکستگی‌های بزرگ، گسل‌ها و ماسه‌های ناپایدار است (Park, 1989).

در این مطالعه اطلاعات ۴۰ حلقه چاه که بیشتر در رأس تاقدیس قرار دارند، تحلیل و نقشه هم‌هزروی گل در مخزن آسماری میدان مارون (شکل ۷) و نمودار ستونی اطلاعات هرزروی گل بر حسب بشکه در ساعت (شکل ۸) برای چاه‌ها تهیه شد.

در نقشه هم‌هزروش هرزروی گل حفاری سازند آسماری بیشترین مقدار هرزروی در منطقه خمین به میزان ۲۰۵ بشکه در ساعت است. بررسی این داده‌ها نشان می‌دهد که با افزایش ژرفای، میزان هرزروی کاهش می‌یابد و احتمالاً با افزایش ژرفای تراکم شکستگی‌های باز کاهش می‌یابد. بررسی نقشه‌های هرزروی گل حفاری وجود یک هماهنگی میان منطقه خمین و داده‌های هرزروی گل حفاری را نشان می‌دهد که بیان کننده گسترش بیشتر شکستگی‌های باز در این بخش نسبت به نواحی مجاور خود است.

۳-۳. تحلیل داده‌های مهندسی مخزن (Analaysis of Reservoir Engineering Data)

از مهم‌ترین متغیرهای مهندسی مخزن که در تحلیل شکستگی‌ها مورد استفاده قرار می‌گیرند می‌توان به متغیرهای شاخص بهره‌دهی، شاخص تراوایی، داده‌های مربوط به زمان ساخت فشار پس از بستن گمانه، لایه‌آزمایی مکرر و ساق مته (DST) اشاره کرد.

ویژگی‌های فیزیکی شکستگی‌ها تابع منشأ، ویژگی‌های مکانیکی سنگ‌ها و عامل دیاژنر است که تأثیر این عوامل می‌تواند تخلخل و تراوایی را افزایش یا کاهش دهد (Gray et al., 1988). در این نوشتار داده‌های تراوایی ارزیابی شده است. در بررسی‌هایی که بر روی نمونه مغزه انجام می‌گیرد تراوایی در دو سوی قائم و افقی اندازه‌گیری می‌شود. در مدل‌های ترسیمی نرم‌افزار شبیه‌سازی مخازن نفتی با استفاده از نرم‌افزار شبیه‌سازی شکستگی‌ها (Fraca) در دو جهت افقی و قائم در هر نقطه از ساختمان تراوایی افقی و قائم محاسبه و در نتیجه نقشه‌های هم‌تراوایی قائم و افقی رسم می‌شود. در میدان مارون نقشه‌های هم‌تراوایی افقی و قائم در نرم‌افزار Fraca توسط شرکت استات اویل تهیه شده است. بر پایه نقشه‌های تراوایی بیشترین تراوایی افقی و قائم به ترتیب به میزان ۲۷۸ و ۲۴۶ میلی دارسی است (Stat Oil, 2003). در نواحی شمال خاوری در محل خمین (دوایر سرخ) و بخشی از یال جنوبی ساختمان یک دیده می‌شود، مناطق با تراکم بالای شکستگی در مخزن آسماری نشان‌دهنده ارتباط قائم شکستگی‌های موجود در این مخزن است (شکل ۹).

۴- سازوکار چین خوردگی در تاقدیس زیرسطحی مارون

برای تحلیل و تفسیر شکستگی‌ها، شواهد زمین‌شناسی و ژئوفیزیکی همچنین برای تحلیل وضعیت ساختاری الگوی چین خوردگی تاقدیس مورد نیاز است. تاقدیس مارون یک تاقدیس زیرسطحی است و شواهد زمین‌شناسی زیادی از آن وجود ندارد. برای شناسایی سازوکار چین خوردگی در تاقدیس مارون از داده‌های ژئوفیزیکی حاصل از لرزه‌نگاری سه‌بعدی به همراه داده‌های حفاری بهره گرفته شده است. بررسی روندهای متفاوت در زاویه بستگی و میزان کوتاه‌شدگی تاقدیس سبب ایجاد

بدین معنی است که سازند گچساران در اولین مراحل دگرشكلي در پیشانی زاگرس فعال بوده و رسوبات پیش از خود را از رسوبات گروه فارس جدا می‌سازد. در مراحل پیشرفتی دگرشكلي سطح گستنگی بالایی (سازند گچساران) در ناویدیس‌ها به تله افتاده و با پرشیب‌شدگی و روراندگی میان تاقدیس‌های اصلی از خود واکنش نشان می‌دهد (Sherkati & Letouzey, 2004).

با نگاهی به نیمرخ‌های لرزه‌ای میدان مارون در موقعیت‌های شمال باختری Line-1424 و Line-1433 بخش‌های مرکزی 1414 و Line-1422 می‌توان به وجود ناویدیس فرودیواره که از ویژگی‌های بارز چین‌های جدایشی انتقالی بوده پی برد (شکل ۱۳). مشاهده نیمرخ‌های لرزه‌ای تفسیر شده، گسل‌های عادی را در بخش‌های جنوب خاوری تاقدیس نشان می‌دهد که به سمت خمش ناپدید می‌شوند. شواهد و علامت ناحیه‌ای وجود گسل‌های کششی (Tentional) را تأیید کرده که در سازند گچساران و افق‌های کم‌زرفارتر ناپدید می‌شوند و زمان گسلش را می‌توان به فاز کششی میوسن میانی پیش از رویداد فشارشی آلبی (میوسن پایانی-پلیوسن) احتمال داد.

مطالعه بخش مرکزی و خاوری زاگرس نشان می‌دهد که چندین سطح گسیختگی میانی نیز در درون گروه مقاوم ارائه شده توسط O'Brien (1950) وجود دارد که در حین چین خوردگی فعال شده و سطوح گسیختگی یادشده واحدهای سنگ‌زمین ساختی را از هم جدا می‌کند (Sherkati & Letouzey, 2004). در گیرشدگی افق‌های گسیختگی میانی طی دگرشكلي پیشونده می‌تواند موجب افزایش پیچیدگی‌های هندسی شود. وجود لایه‌های انعطاف‌پذیر شیل و مارن به صورت متناوب در سازند آسماری (زون‌های ۴ و ۵) به همراه سازند گچساران یکی از دلایل پدید آمدن چندین افق گسیختگی در تاقدیس مارون است. وجود لایه‌های شیلی در ستون سنگ‌شناصی سازند آسماری میدان مارون در طی چین خوردگی می‌تواند موجب لغزش لایه‌ها روی یکدیگر شود. هر لایه به عنوان سطوح لغزش عمل کرده و لغزش از یال‌ها به سوی لوای چین است و تقریباً لوای چن بدون تغیر شکل است.

با توجه به اینکه چین خوردگی در تاقدیس مارون به صورت موازی است، سازوکار چین خوردگی در این ناحیه ترکیبی از دو سازوکار خمی - لغزشی و چین خوردگی با سطح ختشی بوده است.

Poblet & McClay (1996) سه مدل را برای رشد و تکامل چین‌های جدایشی ارائه دادند که عبارتند از: ۱) شبیل یال ثابت و طول یال متغیر، ۲) شبیل یال متغیر و طول یال ثابت و ۳) شبیل یال متغیر و طول یال متغیر.

چین ویژگی‌هایی را در مقاطع ساختمانی رسم شده بر روی نقشه‌های ساختمانی زیرزمینی (Under Ground Contour Map) ساخته‌های پابده و ایلام و پس از محاسبه زوایای میان‌بایی (Fore Limb)، (Inter Limb) و (Back Limb) در برخه‌ای ساختمانی رسم شده تاقدیس مارون، در مدل ۳ می‌توان دید (شکل ۱۴). گفتنی است که برای رسم مقاطع عرضی، از نقشه‌های ساختمانی زیرسطحی رأس سازندهای آسماری و بنگستان که حاصل داده‌های ژئوفیزیکی هستند، استفاده شد.

۵- نتیجه‌گیری

تاقدیس زیرسطحی مارون یک چین مرتبط با گسل راندگی از نوع جدایشی گسلی یا جدایشی انتقالی است. نیمرخ‌های لرزه‌ای تفسیر شده تاقدیس مارون را از نوع چین خوردگی هم رک نشان می‌دهند که از سطح به ژرفابا کاهش فضای موجود در اثر چین خوردگی همراه بوده که این کاهش فضا همراه با گسلش در یال جنوبی است که شبیل گسل به تدریج کم می‌شود تا اینکه در نهایت به سطح گستنگی (بالایی) ساختمانی تاقدیس (سازند گچساران) منتهی می‌شود. بر پایه نقشه‌های همانجا و تحلیل دایره محاطی دو محدوده مستعد شکستگی یک محدوده در نواحی مرکزی

به هم خوردگی ساز و کار چین خوردگی یکی دیگر از ویژگی‌های چین خوردگی‌های هم مرکز است که در بخش‌هایی از تاقدیس مارون قابل مشاهده است. به طور کلی سطوح گسیختگی با افزایش ژرفای جایی بیشتری را نشان می‌دهند به گونه‌ای که نقش سطوح گسیختگی میانی (پابده و گورپی) بر هندسه چین خوردگی تاقدیس مارون در نیمرخ‌های لرزه‌ای تفسیر شده به روشنی نمایان است (شکل ۱۰).

Mitra (2002) سبک ساختاری ویژه‌ای از چین‌های جدایشی را در کمریندهای چین خورد - گسل خورد موردن بررسی قرار داده و با عنوان چین‌های جدایشی گسل خورد معرفی کرده است (شکل ۱۲). وی بر این باور است که این ساختمان‌ها در ستون چینهای با ردیفی از سازندهای مقاوم و نامقاوم شکل می‌گیرد. با افزایش میزان کوتاه‌شدگی دگرشكلي ساختمان از چین خوردگي جدایشی تا چین خوردگي انتشار گسلی پیشونده متغیر است. یکی از پیامدهای اولیه این پدیده عدم تقارن یا نامتقارن بودن چین خوردگی جدایشی ایجاد شده است. همچنین طول موج چین‌ها توسط س্টبرای واحدهای مقاوم کنترل می‌شود. جبران کاهش حجم نیازمند حرکت مواد از تاقدیس‌ها به سوی ناویدیس‌ها است. ادامه کوتاه‌شدگی سبب شکل‌گیری چین‌های تنگ‌تر شده است. این فرایند با چرخش یال‌ها در تاقدیس توسط جایه‌جایی در لوای چین امکان‌پذیر است. چرخش یال سبب ایجاد گسل‌های راندگی شده و این گسل‌ها بر روی یال جلویی و احتمالاً تا یال پشتی نفوذ می‌کنند. در چین‌های جدایشی گسل خورد میانه یال‌های پشتی ممکن است زاویه بیشتری را نسبت به گسل راندگی نشان دهند.

برخی از سیماهای ویژه این سبک از چین خوردگی جدایشی که توسط Mitra (2002) پیشنهاد شده است شامل تغییرات دارای اهمیت در فتار دگرشكلي واحدهای مختلف، هندسه خیلی باز و مدور چین و حضور ناویدیس فرودیواره است. هر چند مدل‌های انتقالی بین سه نوع اصلی چین خوردگی به واسطه گذر از چین‌های از پیش شکل گرفته صورت می‌گیرد. نظر به اینکه در نیمرخ‌های لرزه‌ای تفسیر شده تاقدیس زیرسطحی مارون الگوی شبکه و سکو دیده نمی‌شود بنابراین نمی‌توان مدل چین‌های خمی گسلی را برای آن در نظر گرفت. پس باید مدل هندسی تاقدیس مارون را در ضلع پایینی مثلث رده‌بندی (Mc Clay, 2004) جستجو کرد. حضور گسل راندگی در یال جلویی تاقدیس که لا یه‌بندی را قطع کرده است سبب می‌شود که این تاقدیس در گروه چین‌های جدایشی ایجاد شود. در تحریح ویژگی‌های چین‌های انتشار گسلی اشاره می‌شود که در این مدل از چین خوردگی در جلوی چین هیچ گونه دگرشكلي وجود ندارد. با توجه به موارد یادشده در رده‌بندی مثلثی (Mc Clay, 2004) تاقدیس مارون را باید در گروه چین‌های جدایشی انتقالی به شمار آورد. این گروه از چن‌ها دامنه گسترده‌ای از مدل‌های هندسی چین خوردگی را دربر می‌گیرد. بنابراین تعیین جایگاه مدل هندسی تاقدیس مارون در این گستره اگرچه دشوار ولی ضروری به نظر می‌رسد. میدان مارون تاقدیسی است که پیچیدگی‌های ساختمانی فراوان دارد. بنابراین تنها یک سازوکار نمی‌تواند عامل چین خوردگی باشد بلکه معمولاً به صورت تأم عمل کرده است.

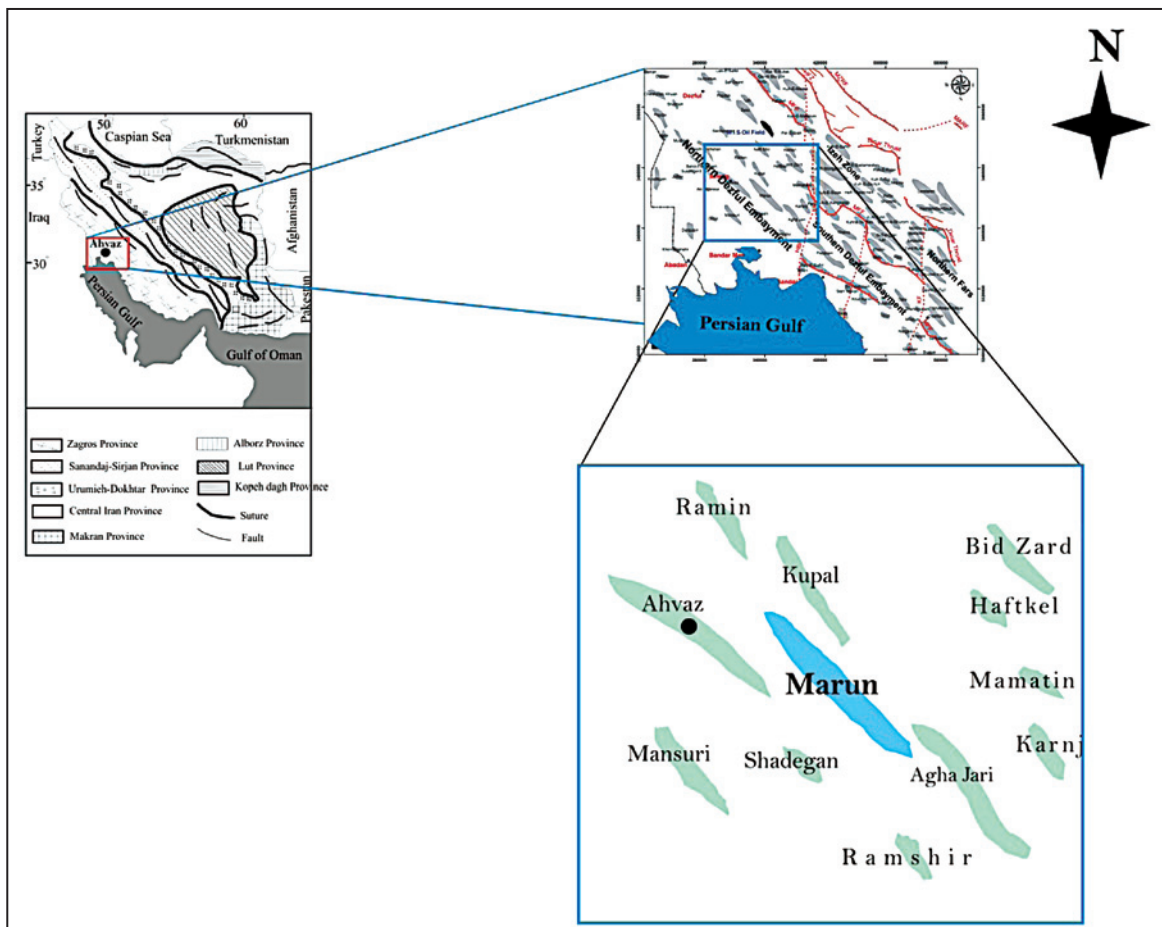
بدین ترتیب در یک بیان کالی تاقدیس زیرسطحی مارون را می‌توان یک چین مرتبط با گسل راندگی یا جدایشی انتقالی (Thrust Fault Related Fold) از نوع جدایشی گسلی (Faulted Detachment Fold) نام‌گذاری کرد (شکل ۱۲).

شواهد و علامت ناحیه‌ای وجود گسل‌های کششی را در ساختار میدان مارون تأیید کرده است که در سازند گچساران و افق‌های کم‌زرفارتر ناپدید می‌شوند و زمان گسلش را می‌توان به فاز کششی - فشارشی میوسن میانی پیش از رویداد فشارشی آلبی (میوسن پسین - پلیوسن) احتمال داد (شکل ۱۱).

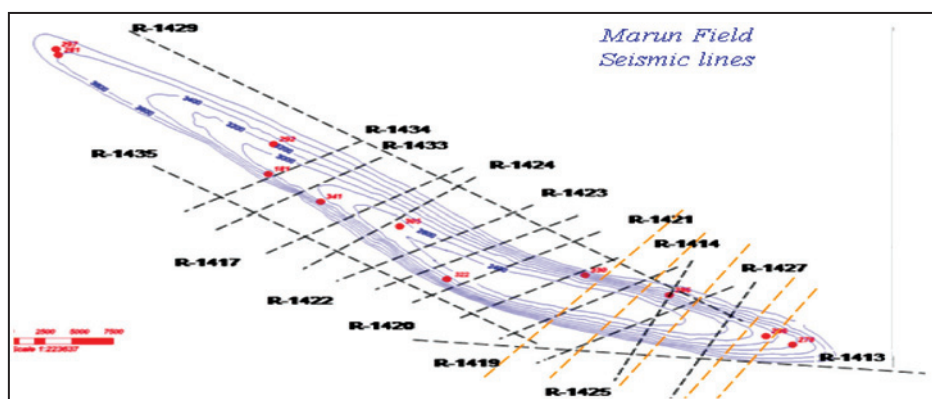
فعال شدن افق‌های گستنگی از ژرفای به سطح یکی پس از دیگری از ویژگی‌های ساختمانی است که در برخی از ساختمان‌های این ناحیه به چشم می‌خورد. وجود تبخیری‌های میوسن میانی (سازند گچساران) در فروافتادگی دزفول

در منطقه خمین تاقدیس نشان می‌دهند. به گونه‌ای که شکستگی‌ها بیشتر در نواحی مرکزی تا باختری یا جنوبی و بخش‌هایی از شمال خاوری میدان گسترش یافته‌اند. در نهایت می‌توان چنین نتیجه‌گیری کرد که لگوهای مخزن مورد مطالعه در ارتباط مستقیم با رژیم زمین ساختی و تشکیلاتی حاکم بر منطقه هستند که برای حفر چاه‌های توسعه‌ای و تولیدی آتی باید متغیرهای یادشده مدنظر قرار داده شده و به بخش شمال خاوری و یا جنوبی تاقدیس مارون توجه بیشتری شود.

تا باختری یا جنوبی و محدوده دیگر در یال شمال و بخش شمال خاوری مشخص شده است به گونه‌ای که هر دو دسته شکستگی‌های مرتبط با چین‌خوردگی و خمین در دو محدوده یادشده دیده می‌شود. در بخش‌های مرکزی میدان در یال جنوبی بیشتر شکستگی‌های طولی دیده شده است. بخش خاوری مخزن، تراکم شکستگی کمتری نسبت به بخش‌های مرکزی دارد. نقشه‌های هرزروی گل حفاری، تراوایی و روش تحلیل دوایره محاطی همانگی بسیار خوبی را با مناطق گسترش شکستگی

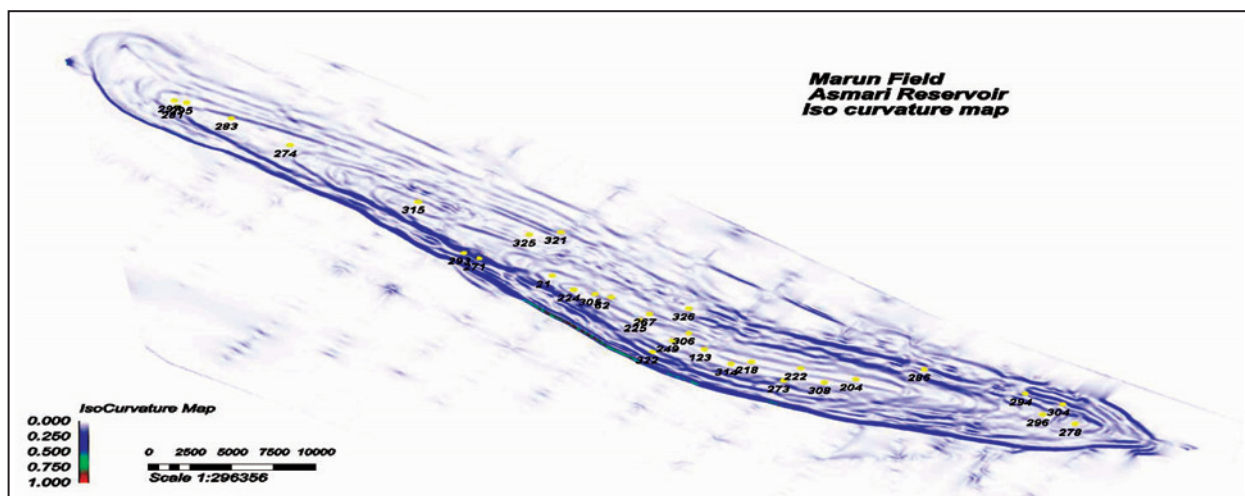
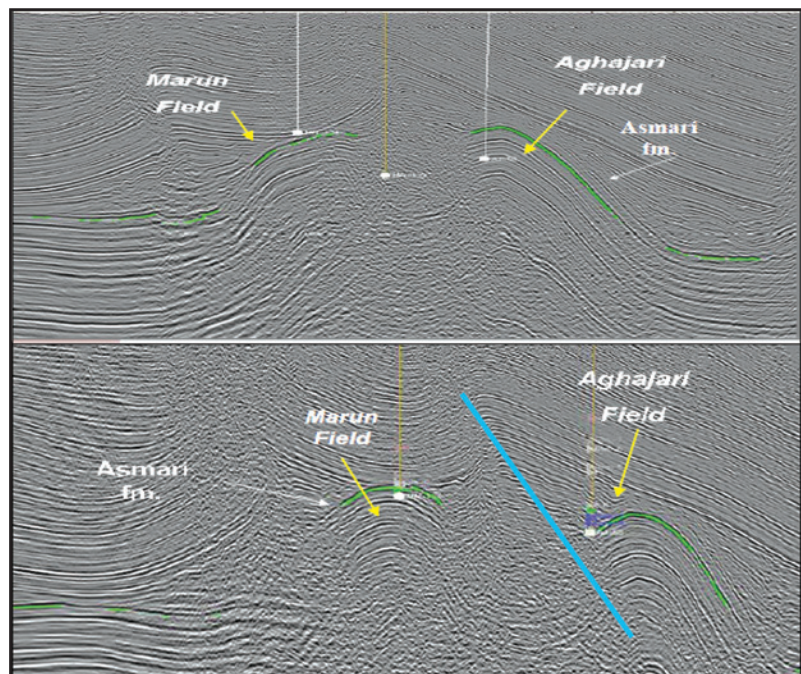


شکل ۱- موقعیت جغرافیایی میدان نفتی مارون و میدین نفتی هم‌جوار آن.

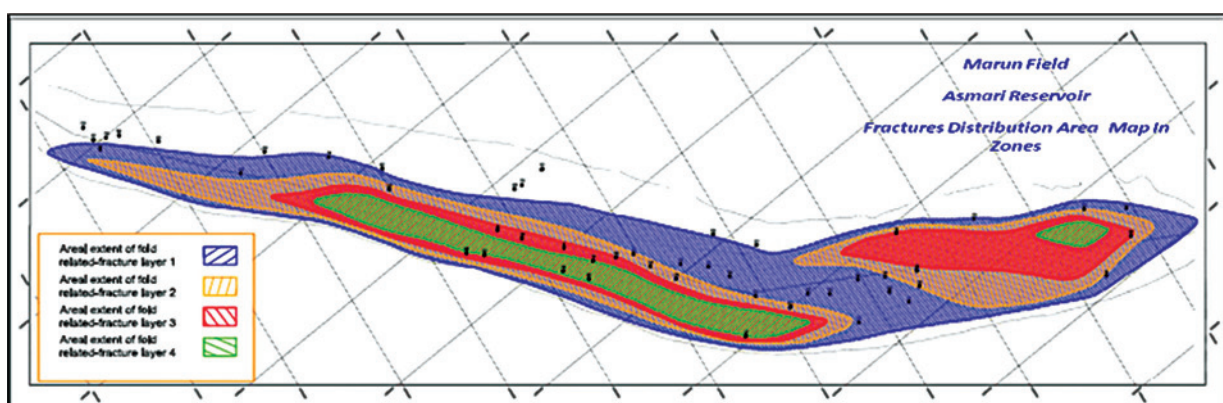


شکل ۲- نمایش موقعیت خطوط لرزه‌ای در میدان مارون: خطوط تیره، مقاطع لرزه‌ای دو بعدی تفسیر شده در میدان مارون و خطوط رنگی مقاطع لرزه‌ای سه بعدی انتخابی تفسیر شده را نشان می‌دهند.

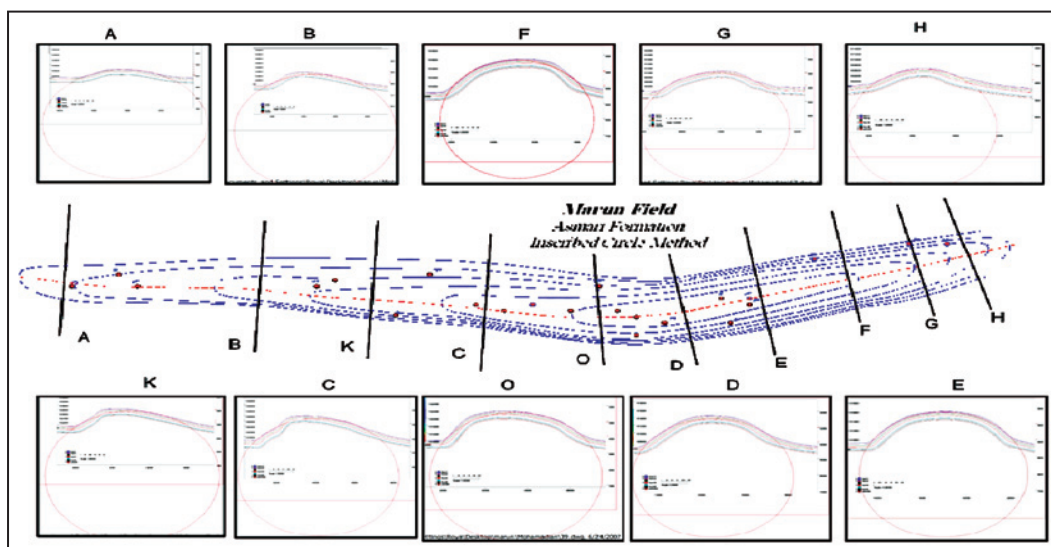
شکل ۳- نمایش مقاطع لرزه‌ای سه بعدی از بخش خاوری میدان مارون (نقشه مبنا شکل ۱۱ رانده شدگی تاقدیس آغاجاری بر روی انتهای شمال خاوری ساختمان مارون مشخص شده است (برگرفته از اداره اکتشاف شرکت ملي نفت ایران).



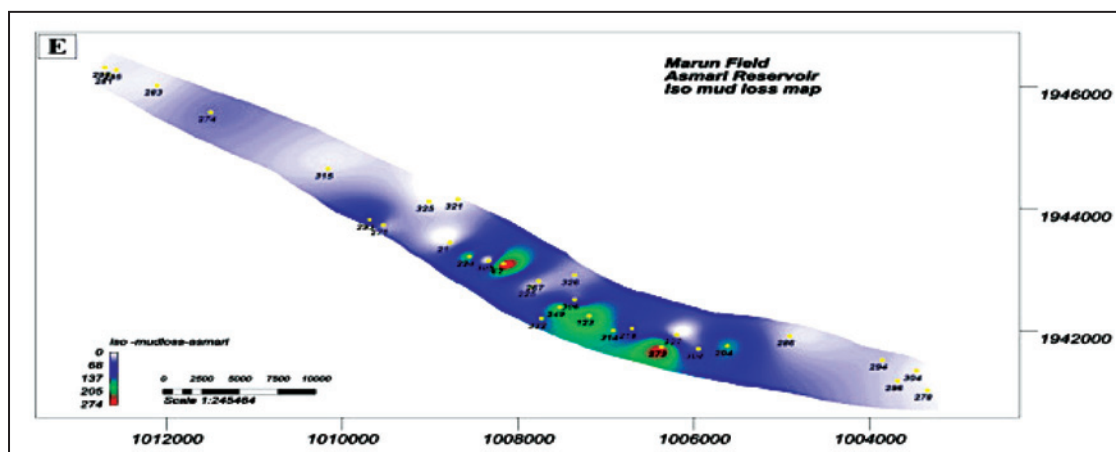
شکل ۴- نقشه همسیب سازند آسماری میدان مارون که بیشترین مقدار شب ساختمان را در نواحی جنوب باخته و شمال خاور نشان می دهد.



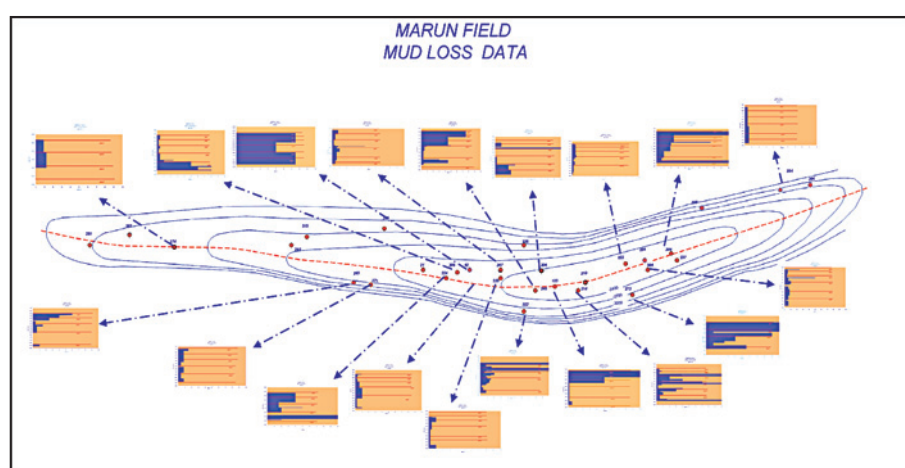
شکل ۵- نمایش محدوده‌های پراکندگی شکستگی‌ها در مخزن آسماری بر پایه روش دوایر محاطی همخوانی بسیار خوب این مناطق را با محدوده‌های بیشینه شب ساختمانی در نقشه هم انحصار می توان دید.



شکل ۶-نمایش دایر محاطی رسم شده بر روی مقاطع عرضی ساختمان مخزن آسماری مارون.

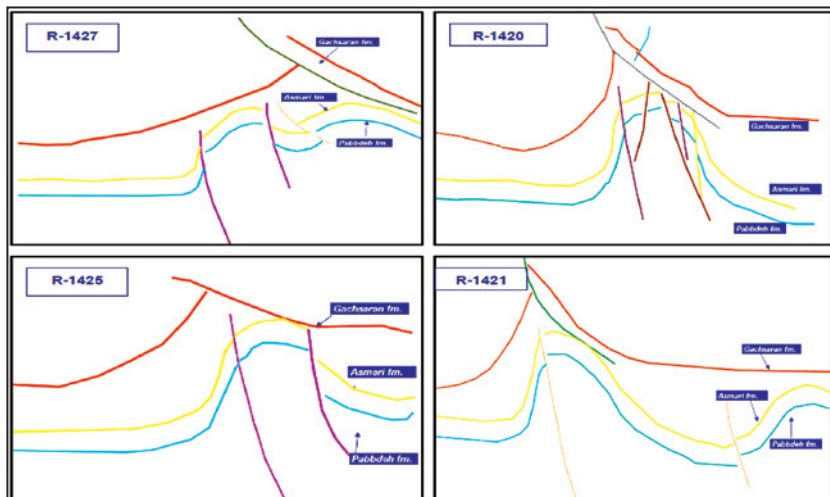
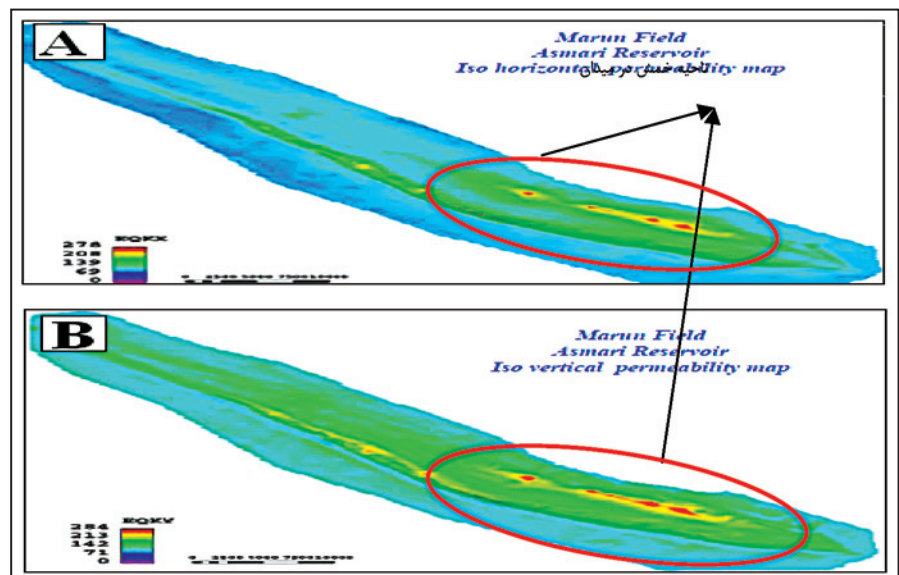


شکل ۷- نقشه هم ارزش هرزروی گل حفاری در کل مخزن آسماری نفتی مارون.

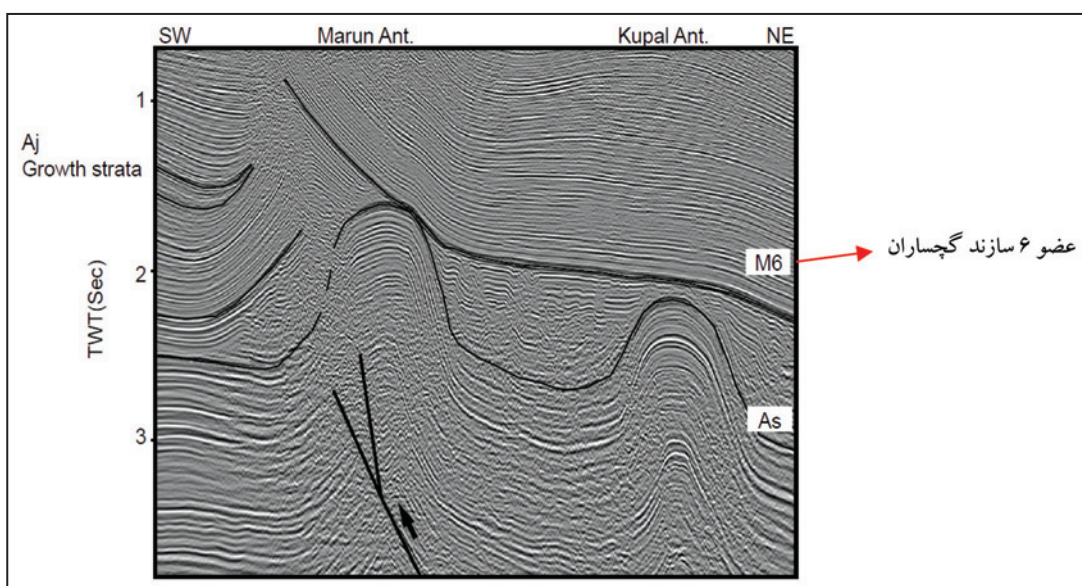


شکل ۸- نقشه نمودارهای ستونی هرزروی گل حفاری بر حسب (bbl/h) در چاههای مخزن آسماری مارون که در آن بیشتر چاهها به جز چاه ۲۷۹، ۲۰۴، ۲۴۳ و ۲۲۴ از روند کاهش هرزروی با افزایش ژرفای پیروی می کنند.

شکل ۹- نقشه تراوایی افقی A و قائم B سازند آسماری مارون با استفاده از نرم افزار fraca که بیشترین تراوایی در گستره شمال خاوری ساختمان دیده می‌شد.

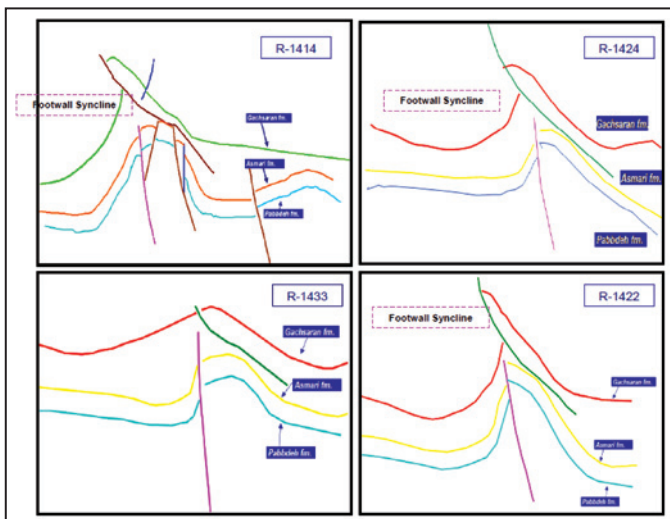
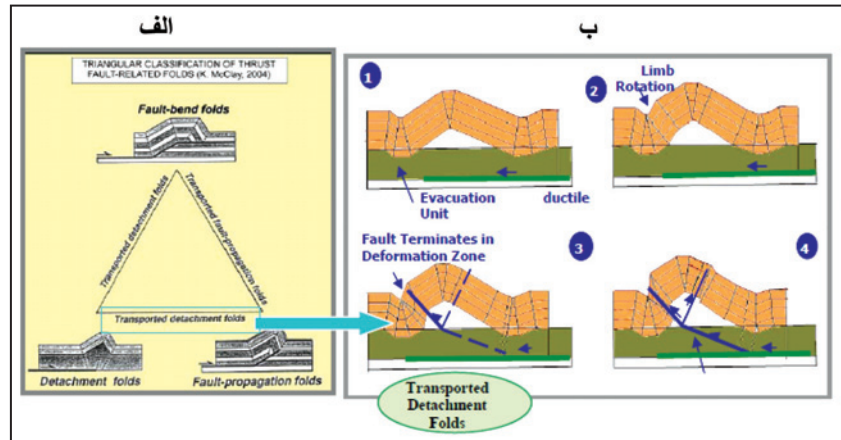


شکل ۱۰- نیمرخ‌های لرزه‌ای دوبعدی تفسیر شده از میدان مارون در منطقه خمچ و بخش‌های خاوری تاقدیس بر پایه خطوط رأس سازندهای پابده (رنگ آبی)، آسماری (رنگ زرد) و گچساران (رنگ قرمز)، نقش سطوح گسیختگی میانی بر هندسه چین خوردگی تاقدیس مارون در نیمرخ‌های لرزه‌ای تفسیر شده را به روشنی نمایان می‌کنند (نقشه مبنای شکل ۲).

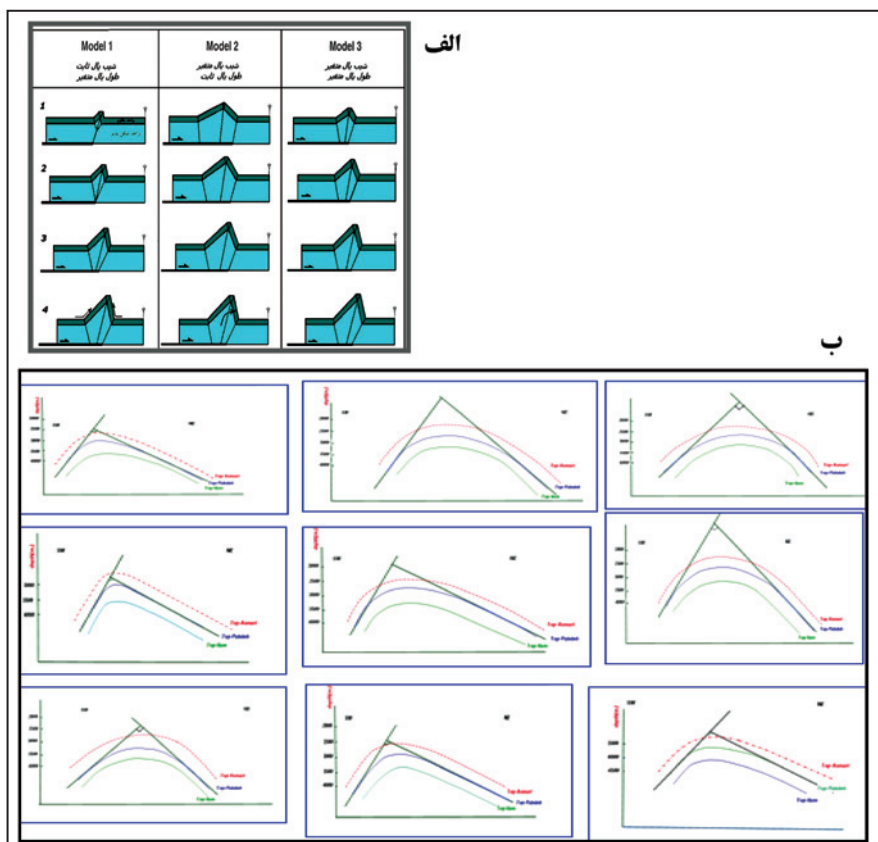


شکل ۱۱- مقطع لرزه‌ای سه بعدی تفسیر شده در میدان مارون (برگرفته از اداره اکتشاف شرکت ملی نفت ایران) که در آن وجود گسل خوردگی در یال جنوبی به اثبات رسیده است.

شکل ۱۲- مثلث طبقه‌بندی چین‌های مرتبط با گسل (McClay, 2004). (الف) تاقدیس مارون در ضلع یابینی این مثلث از نوع چین جدایش گسلی قرار می‌گیرد؛ ب) مدلی از چین جدایش گسلی ارائه شده توسط Mitra (2002).



شکل ۱۳- مقاطع لرزه‌ای دوبعدی تفسیر شده در بخش‌های شمال باختر و مرکز میدان مارون (نقشه مبنای خطوط لرزه‌ای شکل ۲). مشاهده گسل‌های عادی و راندگی در این بخش‌های تاقدیس نمایانگر تحمل ناشی از نیروهای فشارشی پس از چین خوردگی و بیشترین دگرشكلي بهويژه در منطقه خمسه است.



شکل ۱۴- مقاطع رسم شده بر روی نقشه‌های ساختمانی سازنده‌های آسماری، پابده و ایلام به عنوان مراحلی از تکامل چین نشان داده شده است (شکل ب)؛ همان‌گونه که دیده می‌شود این مقاطع هماهنگی بسیار خوبی با مدل ۳ (شکل الف) (Poblet & McClay, 1996) نشان می‌دهند.

کتابنگاری

- مطیعی، م. ۱۳۷۴- زمین‌شناسی نفت زاگرس، جلد اول، انتشارات سازمان زمین‌شناسی کشور، ۵۸۹ ص. صفحه ۱.
- میرزاقلی‌پور، ع. و حقی، ع. ح. ۱۳۶۹- مطالعه زمین‌شناسی میدان نفتی مارون، گزارش شماره پ-۴۲۱۰، اداره کل زمین‌شناسی گسترشی، شرکت ملی مناطق نفت‌خیز جنوب، ۵۵ صفحه.
- یزدانی، م.، علوی، ا. و سراج، م. ۱۳۸۵- تحلیل ساختاری و شکستگی‌های میدان نفتی پارس، فصلنامه زمین‌شناسی ایران، سال دوم، شماره ۵، تابستان، صفحات ۵۶-۴۳.

References

- Baker, H., 1987- Rev Technical Communication Group Fluid Facts Engineering, Chapter 1 PP 1-11, Chapter 2, Handbook PP 105-109, Chapter 3 PP 35-37, Houston, USA, March.
- Bourne, S. J., Bauckmann, F., Rijkels, L., Stephenson, B. J., Weber, A. & Willemse, E. J. M., 2000- Predictive modelling of naturally fractured reservoirs using geomechanism and flow simulation. 9th Abu Dhabi Intern Petroleum Exhibition and Conference (Abu Dhabi), UAE, 10p.
- Colman Sad, S., 1978- Fold development in Zagros simply folded belt, southwest Iran, Am., Assoc., Pet., Geol., Bull, no 62 , p.984-1003.
- Dahlstrom, C. D. A., 1990- Geometric Constraints Derived from the Law of Conservation of volume and Applied Detachment folding AA PG Bull. 74(3), 339-344.
- DeSitter, L. U., 1956- StructuralGeology, firsted.McnGraw Hill Book Co., NewYork552pp.
- Gray, H., George, R. & Darley, H. C., 1988- Composition and Properties of Drilling and Completion Fluids”, Gulf Publishing Educational Company, Fifth Edition, PP 435-454, Houston, London, Paris, Tokyo.
- Mc Clay, K. R., 2004- Advanced Structural Geology for Petroleum Exploration, Royal Holloway UniversityLondon, (Un Pub).
- MC Cord, D. R. & Aociates, A., 1975- Asmari reservoir, Khuzestan province Iran, Fracture study of Asmari reservoir, Osco (Un Pub).
- Mitra, S., 2002- Structural Models of Faulted Detachment Folds, AAPG Bulletin, 86(4), 671-693.
- Obrien, C. A. E., 1950- Tectonic Problems of the Oilfield Belt of South-west Iran. Int. Geol.Cong. 18th, Great Britian, Report.pt 6, 45-58.
- Park, R. G., 1989- Foundation of structural geology, 358p.
- Poblet, J. & Mc Clay, K. R., 1996- Geometry and Kinematic of Single Layer Detachment Folds, AAPG Bull, 80, 1085-1109.
- Sherkati, S. & Letouzey, J., 2004- Variation of Structural Style and Basin Evolution in the Central Zagros (Izeh zone and Dezful Embayment), Iran, Marine and Petroleum Geology, 21(5) , 535-554.
- Sisler, J. J., 1971- Study of Asmari Core Material From Wells Parsi 15 and 16, Parsi Field, Iran, OSCO, Report P-1945.
- Stat Oil, 2003- Marum Asmari Full Field Study, unpublished report.

Consideration of Geometric and Kinetic Parameters Fractures of Asmari Reservoir in Marun Field

Kh. Noraei Nezhad^{1*}, H. Amiri Bakhtiar², R. Mohammadian³ & A. Azizi⁴

¹ M.Sc., Department of Geology, Faculty of Sciences, Shahid Chamran University of Ahvaz, Ahvaz, Iran

² Ph.D., National Iranian South Oil Company, Ahvaz, Iran

³ M.Sc., National Iranian South Oil Company, Ahvaz, Iran

⁴ M.Sc. Student, Department of Geology, Faculty of Sciences, Shahid Chamran University of Ahvaz, Ahvaz, Iran

Received: 2011 March 09 Accepted: 2012 June 17

Abstract

Marun Oil Field is located in the southern part of Dezful embayment, in the mid part of the Zagros simple folded mountain range and along the Ramin and Aghajari anticlines. In this study, based on the subsurface data and using subsurface analytical methods the folding mechanism and fractures of this anticline has been studied. In this research, using the primary results of geophysical data, analysis methods, geometric curvature changes, mud loss and reservoir engineering data, geometry of anticline and fractures associated with folding have been analyzed. Folding mechanisms in this anticline is a combination of flexural-sliding folding and folding with neutral surface. In other words, the Marun subsurface anticline is a thrust fault-related fold and also a faulted detachment fold. Seismic profiles show that the Marun anticline as a concentric fold that from surface to depth space has been decreased. This decrease of space associated with faulting in the southern flank and these faults disappear in the Gachsaran formation. A good conformity among geometric analytical methods, mud loss data, index productivity on bending region in the Marun anticline and presence of fractures in this region exist. The data analysis shows that the highest density of fractures is related to the bending region in the Marun Oil Field. Finally, using these parameters, it is recommended that for further drilling of development and production wells these parameters must be regarded and the northeastern part of the Oil Field as well as southern flank of the anticline must be given full consideration.

Keywords: Marun Oil Field, Asmari Reservoir, Folding, Faulting, Fractures.

For Persian Version see pages 37 to 46

*Corresponding author: Kh. Noraei Nezhad; E-mail: Kh.nuraei@gmail.com